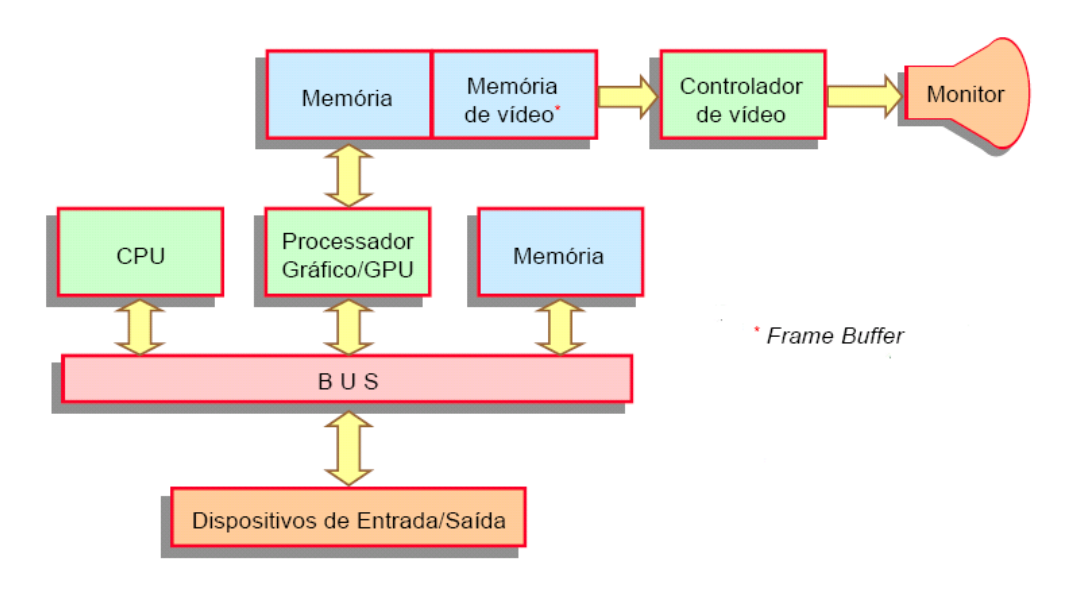
Computação Gráfica

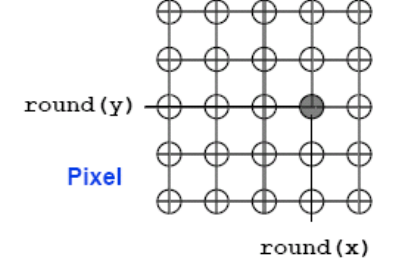
- Criação, armazenagem e manipulação de modelos de objectos e subsequentes imagens por meio de computador.
- => Arquitectura dum sistema gráfico *raster*:



Rasterização de primitivas gráficas

=> Pontos:

WRITE_PIXEL(round(x), round(y), value)



=> Polígonos:

• Preenchimento do polígono definido pela sequência dos vértices, independentemente dos valores pré-existentes na memória (2D).

1. Algoritmo Par-Impar (Even-Odd)

- É um algoritmo de varrimento por linhas, em que os pixels são testados não individualmente, mas tirando partido da...
 - a) coerência por linha de varrimento:
 - Se um dado pixel duma linha pertence ao polígono, é provável que os pixels vizinhos também pertençam.
 - b) coerência por aresta do polígono:
 - Se uma aresta intersecta uma dada linha de varrimento, é provável que intersecte também as linhas vizinhas.
- Etapas do algoritmo FILL AREA: (Para cada linha de varrimento)
 - Calcular todas as intersecções com as arestas do polígono
 Nota: as arestas horizontais são excluídas do algoritmo
 - 2. Ordenar as intersecções segundo os valores crescentes da abcissa
 - 3. Preencher todos os pixels entre pares de intersecções
 - Alguns vértices dão um número ímpar de intersecções, o que leva a preenchimento incorrecto. Para resolver este problema faz-se o preenchimento entre cada par de intersecções, mas exclui-se as arestas para as quais a ordenada da linha de varrimento seja as sua ordenada máxima.

=> Linhas:

• Segmentos de recta definem-se pelas coordenadas dos extremos P_I e P_2 por hipótese de valores inteiros.



- A cor, grossura e tipo de traço são atributos possíveis para as linhas. Há implementações em que o pixel corresponde a P_2 não é activado, permitindo que não seja escrito mais do que uma vez se se tratar duma linha poligonal.

1. Algoritmo Incremental (*DDA*)

2. Algoritmo de Bresenhan

```
procedure LINE BRESENHAM (x1,y1,x2,y2,value: integer);
   { Condição de aplicabilidade: 0 ≤ m ≤ 1
     Para resolver nos outros octantes faz-se uma conversão para este! }
var
     dx, dy, ks, kt, d, x, y, x end: integer;
begin
      dx := abs(x2-x1); dy := abs(y2-y1); d := 2*dy - dx;
      ks := 2*dy; kt := 2*(dy - dx);
      if x1 > x2 then begin x := x2; y := y2; x \text{ end} := x1 end
                 else begin x := x1; y := y1; x \text{ end} := x2 end;
      WRITE PIXEL(x,y,value);
      while x < x end do
     begin
            x := x + 1;
            if d < 0 then d := d + ks
                     else begin y := y + 1; d := d + kt end;
            WRITE PIXEL(x,y,value)
      end
end;
```

2. Algoritmo do Ponto Médio

- O algoritmo de Bresenham não é de generalização fácil para as cónicas em geral
 - Aplicação ao caso duma recta, cuja equação é

$$F(x, y) = ax + by + c = 0$$

• Comparando com a forma explícita

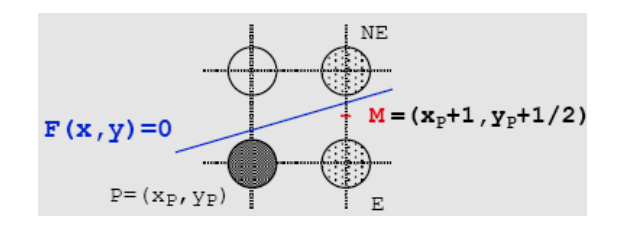
$$y = mx + B = (dy/dx)x + B$$

• determinam-se os coeficientes da forma implícita:

$$F(x, y) = dy x - dx y + B dx = 0 \implies b = -dx$$

$$c = B dx$$

- Hipótese: dy≥0, por escolha da ordem entre os pontos que definem os segmento de recta
- Exemplo:



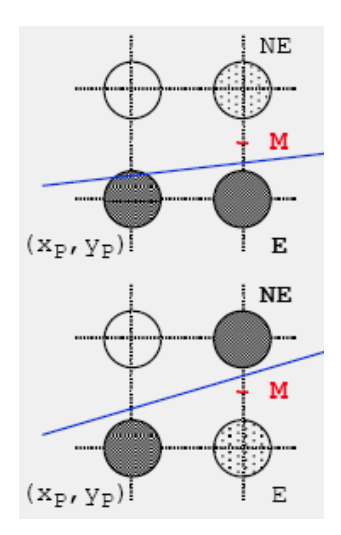
$$y = mx + b$$
, $com 0 \le m \le 1$

- Comparação no ponto médio $\mathbf M$ para se conhecer o novo ponto P com abcissa x_p+1 :

$$P = if F(M) < 0 then E$$

$$F(M) = a(x_P + 1) + b(y_P + 1/2) + c = d'$$

- Como d' = F(M), no passo seguinte e quando..



..a escolha for E (novo M, para x_p+2 , manterá a ordenada) $d' = F(x_p+2, y_p+1/2) = a(x_p+2) + b(y_p+1/2) + c$ ou seja, em linguagem de programação: d' := d' + a

..a escolha for NE (novo M, para x_p+2 , manterá a ordenada) $d' = F(x_p+2, y_p+3/2) = a(x_p+2) + b(y_p+3/2) + c$ ou seja, em linguagem de programação: d' := d' + a + b

- Como, por hipótese, as coordenadas das extremidades do segmento de recta são os valores inteiros, a e b também o são:

Inicialização da variável de decisão no ponto
$$P(x_1,y_1)$$
:
$$F(x_1+1,y_1+1/2) = a(x_1+1) + b(y_1+1/2) + c$$

$$= a x_1 + b y_1 + c + a + b/2$$

$$= F(x_1,y_1) + a + b/2$$

$$= a + b/2$$

- O valor inicial da variável de decisão seria:

$$d' = F(x_1 + 1, y_1 + 1/2) = a + b/2$$

- Mas, para se trabalhar exclusivamente com valores inteiros, multipliquese por 2 e substitua-se 2d` por d:

$$d = 2a + b = 2dy - dx$$

Conclusão:
$$P := \text{if } d < 0 \text{ then } \{E\}$$

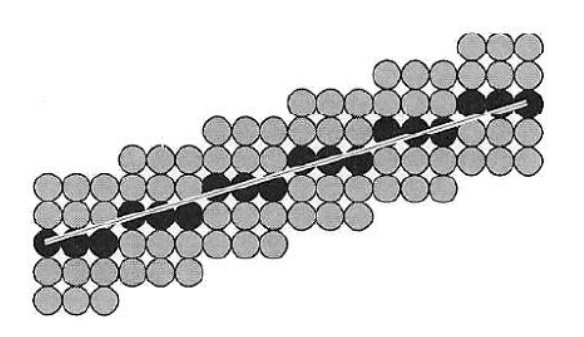
$$x := x + 1 \land d := d + 2 \times dy$$

$$\text{else } \{NE\}$$

$$x := x + 1 ; y := y + 1 \land d := d + 2 \times (dy - dx)$$

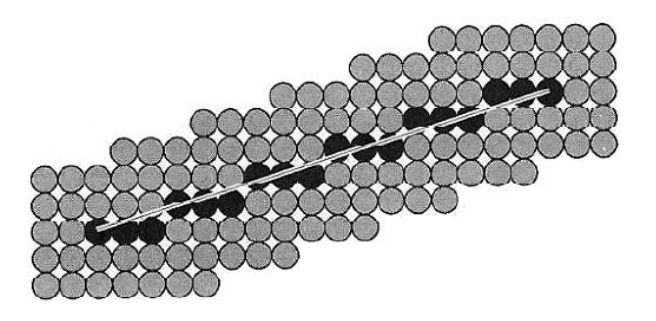
Grossura das Linhas

=> Replicação de Pixels



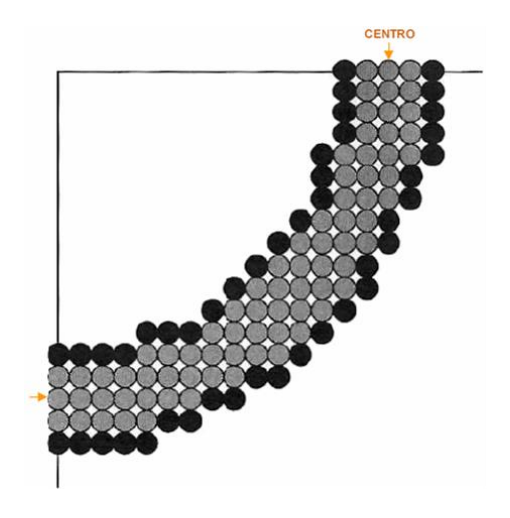
- + Eficiente e facilmente adaptável aos algoritmos de conversão raster
- As linhas terminam sempre vertical ou horizontalmente
- Pode implicar existência de vazios nos pontos de ligação de troços
- É necessário decidir quando a grossura tiver um valor par
- Menor grossura ($\times 1/\sqrt{2}$) à aproximação de 45°
- Menos pixels na passagem de replicação vertical a horizontal
- => Boa solução para linhas pouco grossas

=> Forma do Aparo



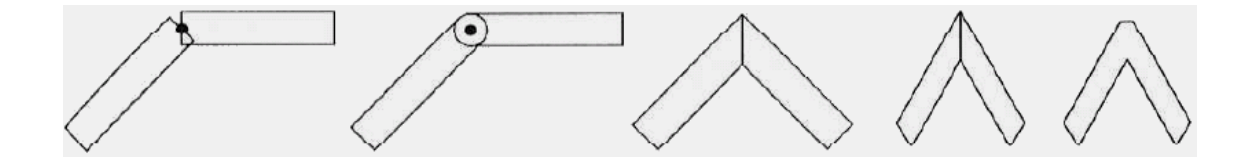
- + Comparando com **Replicação de Pixels**, um aparo quadrado, por exemplo, melhora a qualidade dos extremos duma linha
- + Um aparo circular (se possível) evitará o problema
- Execução mais lenta
- Situações que não deve permitir sobreposição na escrita de pixels
- Altera o comprimento duma linha
- Grossura média varia com o declive, sendo maior ($\times\sqrt{2}$) a 45°

=> Preenchimento de Áreas



- Criação de duas fronteiras, igualmente afastadas para cada lado: a um *segmento de recta* corresponde um *rectângulo*.
- + Não altera o comprimento duma linha
- + Pode aplicar-se o algoritmo FILL AREA *
- + Um aparo circular (se possível) evitará o problema
- Dificuldades de realização em alguns casos (elipses)
- * mas se poderá notar desfasamento em relação à *linha central*

=> **Aproximação por poligonais** (Grossas)



- Uma curva é aproximada por troços rectilíneos, usando-se depois os algoritmos de conversão de linhas e polígonos.
- + Eficiência na geração (e recorte)
- Dificuldades com a aparência dos pontos de junção

Enquadramento

=> Formato de um rectângulo

$$a = \frac{X_{\text{max}} - X_{\text{min}}}{Y_{\text{max}} - Y_{\text{min}}}$$

Exemplos \rightarrow 4:3 e 16:9

• Condição para manter as proporções da imagem no enquadramento:

$$a_{\text{janela}} = a_{\text{visor}} \longrightarrow \frac{X_2 - X_1}{Y_2 - Y_1} = \frac{X_2^{'} - X_2^{'}}{Y_2^{'} - Y_2^{'}} \longrightarrow E = B$$

=> Coordenadas no Ecrã

- Para cada ponto P(x,y) far-se-ia corresponder um vector $P = \begin{bmatrix} X \\ Y \end{bmatrix}$
- Para o caso do enquadramento janela visor ter-se-ia:

- Mas haverá maneira de se obter o mesmo resultado apenas com operadores multiplicativos e do mesmo tipo?...

$$P' = M_3.M_2.M_1.P$$

• As transformações de coordenadas resolvem-se uniformemente através do cálculo matricial usando coordenadas homogéneas. A

cada ponto P(x,y,z) faz-se corresponder o vector
$$P = \begin{bmatrix} X \\ Y \\ Z \\ 1 \end{bmatrix}$$
. Portanto

os operadores (M) sobre os pontos (P) são matrizes 3x3 em 2D e 4x4 em 3D. Usam-se na forma P = M.P

- Tratamento Matemático:
 - Translação:

$$T(T_x, T_y) = \begin{bmatrix} 1 & 0 & T_x \\ 0 & 1 & T_y \\ 0 & 0 & 1 \end{bmatrix} \qquad x' = x + T_x \\ y' = y + T_y$$

• Mudança de escala:

$$S(S_{x}, S_{y}) = \begin{bmatrix} S_{x} & 0 & 0 \\ 0 & S_{y} & 0 \\ 0 & 0 & 1 \end{bmatrix} \qquad x' = S_{x} \times x$$

$$y' = S_{y} \times y$$

• Rotação:

$$R(\alpha) = \begin{bmatrix} \cos \alpha & -\sin \alpha & 0\\ \sin \alpha & \cos \alpha & 0\\ 0 & 0 & 1 \end{bmatrix}$$

- Para resolver
$$\begin{bmatrix} x \\ y \end{bmatrix} = \begin{bmatrix} B & 0 \\ 0 & E \end{bmatrix} \cdot \left(\begin{bmatrix} x \\ y \end{bmatrix} - \begin{bmatrix} A \\ D \end{bmatrix} \right) + \begin{bmatrix} C \\ F \end{bmatrix}$$
 com operadores

multiplicativos $P' = M_3 M_2 M_1 P$ a solução é:

$$\begin{bmatrix} x \\ y \\ 1 \end{bmatrix} = \begin{bmatrix} 1 & 0 & C \\ 0 & 1 & F \\ 0 & 0 & 1 \end{bmatrix} \cdot \begin{bmatrix} B & 0 & 0 \\ 0 & E & 0 \\ 0 & 0 & 1 \end{bmatrix} \cdot \begin{bmatrix} 1 & 0 & -A \\ 0 & 1 & -D \\ 0 & 0 & 1 \end{bmatrix} \cdot \begin{bmatrix} x \\ y \\ 1 \end{bmatrix}$$

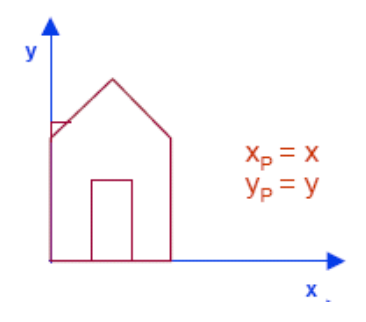
ou

$$P' = T(C,F).S(B,E).T(-A,-D).P$$

Projecções Geométricas planas

- A superfície de projecção é um plano.
- As projectantes são linhas <u>rectas</u>.

=> Projecção Ortogonal



$$P' = M_{ORT} \cdot P$$

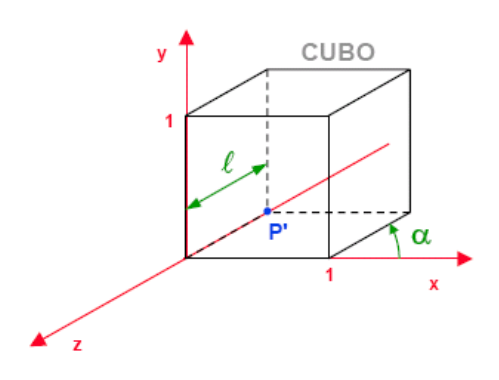
$$M_{ORT} = \begin{bmatrix} 1 & 0 & 0 & 0 \\ 0 & 1 & 0 & 0 \\ 0 & 0 & 0 & 0 \\ 0 & 0 & 0 & 1 \end{bmatrix}$$

- + Mostra as dimensões exactas das faces paralelas ao plano de projecção
- Pode ser dificil avaliar a forma tridimensional do objecto

=> Projecção Oblíqua

 ℓ – factor de redução ou de encurtamento

 α – ângulo de fuga



$$M_{ORT} = \begin{bmatrix} 1 & 0 & -\ell \cos \alpha & 0 \\ 0 & 1 & -\ell \sin \alpha & 0 \\ 0 & 0 & 0 & 0 \\ 0 & 0 & 0 & 1 \end{bmatrix}$$

- As projecções oblíquas são determinadas / caracterizadas por:
 - a) Pelo ângulo(β) que as projectantes fazem com o plano de projecção (z=0)
 - b) Pela orientação das projectantes, independentemente do ângulo com o plano de projecção (valores de 45° ou 30° para α)

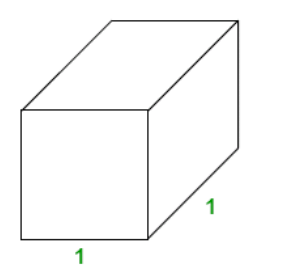
Cavaleira:
$$\ell = 1$$
 \longleftrightarrow $\beta = 45^{\circ}$

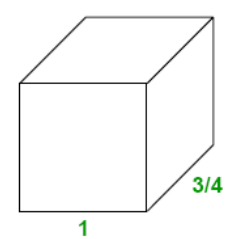
Cavaleira:
$$\ell = 1$$
 \longleftrightarrow $\beta = 45^{\circ}$

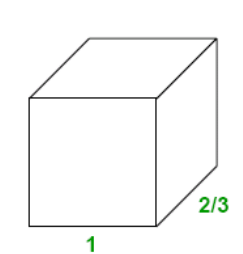
Gabinete: $\ell = 0,5$ \longleftrightarrow $\beta = 63,4^{\circ}$

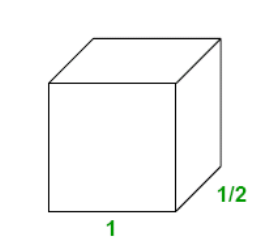
Ortogonal: $\ell = 0$ \longleftrightarrow $\beta = 90^{\circ}$

$$rtogonal: \ \ell = 0 \qquad \longleftrightarrow \qquad \beta = 90^{\circ}$$

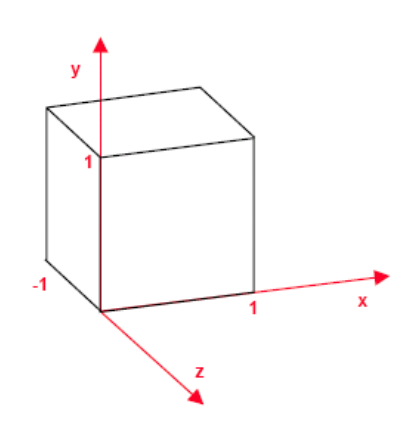






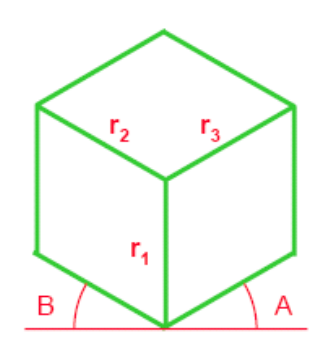


=> Projecção Axonométrica



$$M_{AX} = M_{ORT} . R_X(\gamma) . R_Y(\theta)$$
 (z = 0)

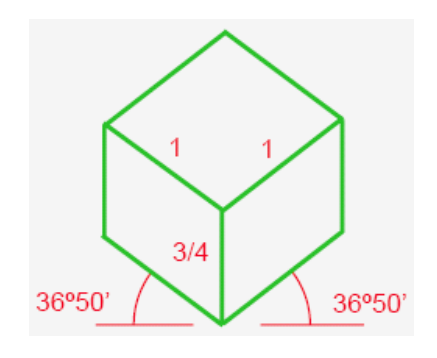
• Desenho Axonométrico



- Isometria:

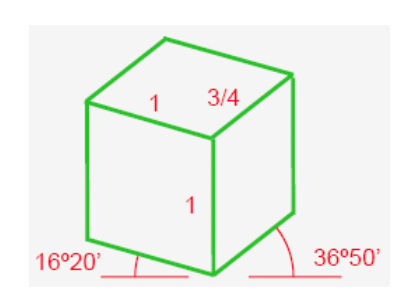
$$\rightarrow A = B = 30^{\circ}$$

$$\rightarrow r_1 = r_2 = r_3 = 1$$



- Dimetria:

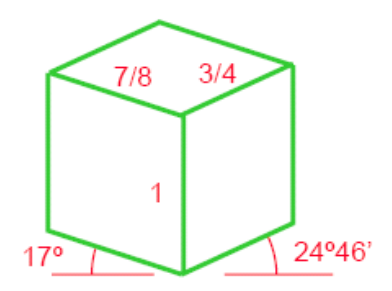
$$\rightarrow$$
 A = B = 36° 50′
 \rightarrow r₁ = $\frac{3}{4}$, r₂ = r₃ = 1



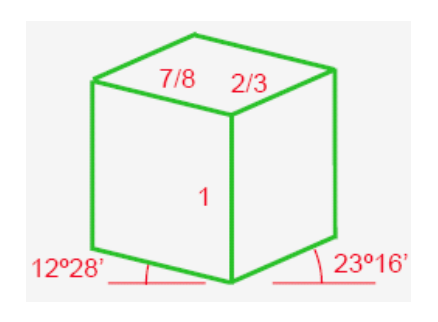
$$\rightarrow$$
 A = 16° 20′ | B = 36° 50′

$$\boldsymbol{\rightarrow} r_1 = r_2 = 1$$
 , $r_3 = \sqrt[3]{_4}$

- Trimetria:



$$\rightarrow$$
 A = 17° | B = 24° 46°
 \rightarrow r₁ = 1, r₂ = $\frac{7}{8}$ r₃ = $\frac{3}{4}$



$$\rightarrow$$
 A = 12° 28′ | B = 23° 16′
 \rightarrow r₁ = 1, r₂ = $\frac{7}{8}$ r₃ = $\frac{2}{3}$

• Projecção Axonométrica

$$\rightarrow \theta = arctg \left(\sqrt{\frac{tg(A)/}{tg(B)}} \right) - \frac{\pi}{2}$$

$$\rightarrow \qquad \gamma = arcsen\Big(\sqrt{tg(A).tg(B)}\,\Big)$$

$$\rightarrow r_1 = \cos(\gamma) \qquad r_2 = \frac{\cos(\theta)}{\cos(B)} \qquad r_3 = \frac{-\sin(\theta)}{\cos(A)}$$

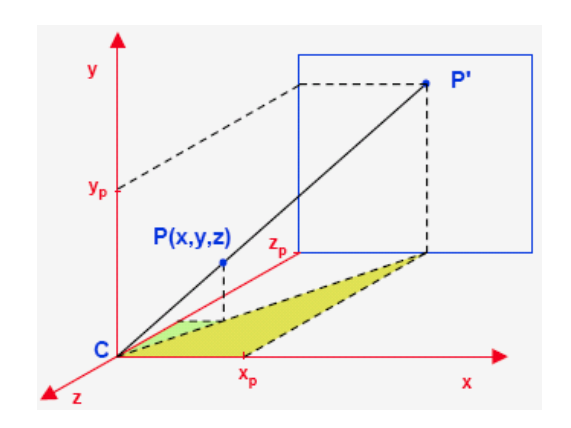
- Uma projecção axonométrica é determinada / caracterizada:
 - a) Pelos ângulos que os eixos coordenados locais ao objecto fazem com o plano de projecção (ou...)
 - b) Pelos três factores de escala (ou...)
 - c) Pelos ângulos entre os eixos coordenados depois de projectados

Conclusões:

- O paralelismo de linhas é preservado mas os ângulos não o são
- Os comprimentos são medidos usando-se factores de escala correspondentes às três direcções axiais.

=> Projecção Perspectiva

- Plano de projecção em $z = d \neq 0$ e centro de projecção C na origem:



$$\frac{x_P}{d} = \frac{x}{z} \longrightarrow x_P = \frac{x}{z/d}$$

$$\frac{y_P}{d} = \frac{y}{z} \longrightarrow y_P = \frac{y}{z/d}$$

$$z_P = d \longrightarrow z_P = \frac{z}{z/d}$$

- Coordenadas da imagem de **P**:

$$P' = \begin{bmatrix} x_P \\ y_P \\ z_P \end{bmatrix}$$

- Coordenadas homogéneas de **P**': $P' = \begin{vmatrix} X = x \\ Y = y \\ Z = z \end{vmatrix}$

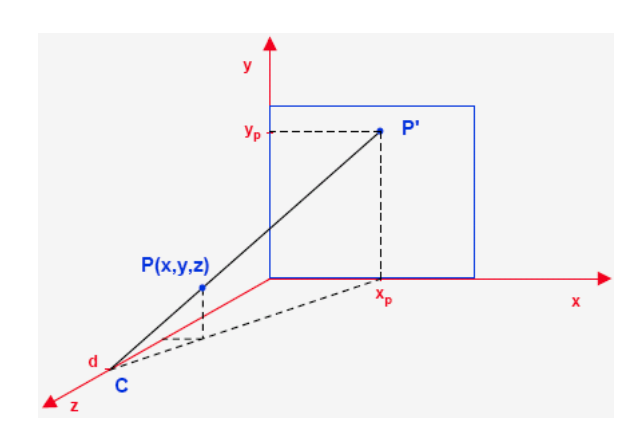
$$P' = \begin{bmatrix} X = x \\ Y = y \\ Z = z \\ W = z/d \end{bmatrix}$$

- Podem obter-se de **P** pela aplicação da M_{PER} : $\begin{vmatrix} x \\ y \\ z \end{vmatrix} = M_{PER} \cdot \begin{vmatrix} x \\ y \\ z \end{vmatrix}$

$$\begin{bmatrix} x \\ y \\ z \\ z/d \end{bmatrix} = M_{PER} \cdot \begin{bmatrix} x \\ y \\ z \\ 1 \end{bmatrix}$$

$$M_{PER} = \begin{bmatrix} 1 & 0 & 0 & 0 \\ 0 & 1 & 0 & 0 \\ 0 & 0 & 1 & 0 \\ 0 & 0 & 1/d & 0 \end{bmatrix}$$

- Plano de projecção em z=0 e centro de projecção C na (0,0,d) com $d\neq 0$::



$$\frac{x_P}{d} = \frac{x}{d-z} \longrightarrow x_P = \frac{x}{1-z/d}$$

$$\frac{y_P}{d} = \frac{y}{d - z} \longrightarrow y_P = \frac{y}{1 - z/d}$$

$$z_P = 0 \longrightarrow z_P = \frac{0}{1 - z/d}$$

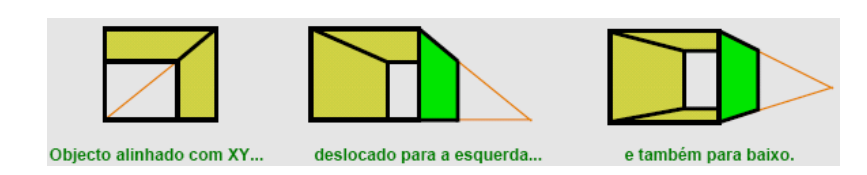
$$z_P = 0 \longrightarrow z_P = \frac{0}{1 - z/d}$$

- Podem obter-se de **P** pela aplicação da M'_{PER}: $\begin{vmatrix} x \\ y \\ z \\ 1-z/d \end{vmatrix} = M'_{PER} \cdot \begin{vmatrix} x \\ y \\ z \\ 1 \end{vmatrix}$

$$M_{PER} = \begin{bmatrix} 1 & 0 & 0 & 0 \\ 0 & 1 & 0 & 0 \\ 0 & 0 & 1 & 0 \\ 0 & 0 & -1/d & 0 \end{bmatrix} \qquad d \to \infty \implies M_{PER} \to M_{ORT}$$

- Implicações do paralelismo das direcções principais do objecto com os eixos

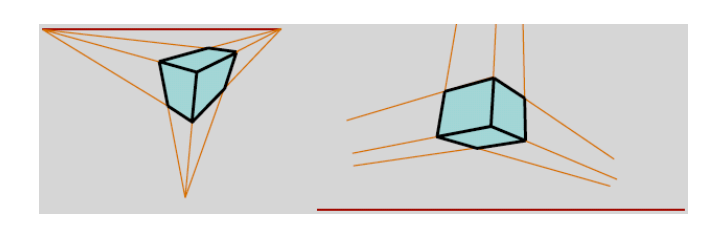
1 ponto de fuga:



2 ponto de fuga:



3 ponto de fuga:



Curvas e Superfícies

=> Curva

- Especificada por uma ou mais equações com uma só variável independente
 - Descrição não-paramétrica
 - Forma explícita:

$$Q = (x, y = f(x), z = g(x))$$

- Forma implícita:

$$Q = (F(x, y, z) = 0, G(x, y, z) = 0)$$

• Descrição paramétrica

$$Q = (x = f(t), y = g(t), z = h(t)) \qquad a \le t \le b$$

=> Superfície

- Especificada por uma ou mais equações com duas variáveis independentes
 - Descrição não-paramétrica
 - Forma explícita:

$$Q = (x, y, z = f(x, y))$$

- Forma implícita:

$$Q = (F(x, y, z) = 0)$$

• Descrição paramétrica

$$Q = (x = f(s,t), y = g(s,t), z = h(s,t)) \qquad a \le t \le b, c \le s \le d$$

=> Curvas e Superfícies

• Descrição não-paramétrica

- Forma explícita:
- 1. Facilidade de cálculo
- 2. Não pode representar uma correspondência que não seja função
- 3. Não se podem aplicar directamente transformações por operadores matriciais

Exemplo:
$$y = \sqrt{4 - x^2}$$
 e $y = -\sqrt{4 - x^2}$, $-2 \le x \le 2$

- Forma implícita:
- 1. Representação de correspondências que não sejam funções
- 2. Pode ser difícil a determinação das raízes
- 3. Não se podem aplicar directamente transformações por operadores matriciais

Exemplo:
$$x^2 + y^2 - 4 = 0$$
, $-2 \le x \le 2$

• Descrição não-paramétrica

Exemplo:

- 1. Representação de correspondências que não sejam funções
- 2. Podem aplicar-se directamente transformações por operadores matriciais

$$x = 2\cos(t)$$

$$y = 2 \operatorname{sen}(t)$$
ou
$$x = 2\cos(2\pi t)$$

$$y = 2 \operatorname{sen}(2\pi t)$$

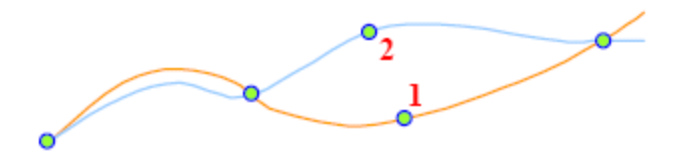
$$y = 2 \operatorname{sen}(2\pi t)$$

$$0 \le t \le 1$$

- Alguns requisitos no design de Curvas:
 - Interpolar ou aproximar um certo número de pontos conhecidos, obtendo-se a equação da curva



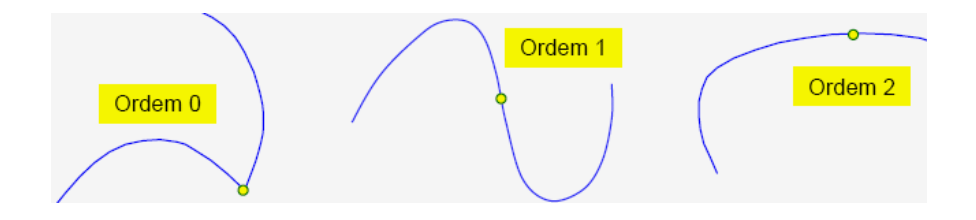
 Controlar através de pontos conhecidos e de forma previsível (local ou globalmente)



- Haver independência da forma da curva em relação aos eixos
- Permitir correspondências que não sejam funções
- Existir tendência para suavizar pequenas irregularidades



 Permitir a continuidade entre os troços que constituam uma curva complexa



1ª Conclusão: Usar descrições paramétricas

=> Curvas de Interpolação

• Problema:



- Encontrar uma curva Q(t) que passe por $n{+}1$ pontos P_i

- Condições do problema:
 - 1. $Q(t_i) = P_i$, i = 0...n
 - 2. Continuidade das funções e suas derivadas
- Resolução:
 - 1. Usar polinómios interpoladores

1. Interpolação de Lagrange

- Existe um e um só polinómio de grau n que resolve o problema:

$$Q(t) = \sum_{i=0}^{n} P_i L_{in}(t)$$

$$L_{in}(t) = \frac{(t - t_0)...(t - t_{i-1})(t - t_{i+1})...(t - t_n)}{(t_i - t_0)...(t_i - t_{i-1})(t_i - t_{i+1})...(t_i - t_n)}$$

- Mas um polinómio de grau n tem até n-1 extremos relativos e n-2 pontos de inflexão
- Em medições precisas, quando se usam muitos pontos, o resultado poderá ser uma oscilação indesejada da curva

2. Interpolação por Splines (naturais)

- A teoria dos splines trata da interpolação polinomial, no geral e por troços
 - Definição de Spline:
 - Uma função S(t), escalar ou vectorial, definida no intervalo $[t_0, t_n]$, é um SPLINE de ordem k (ou grau k-1) se:
 - $$\begin{split} 1. \ S(t) \ \text{\'e} \ \text{um polin\'omio} \ \text{de grau } k\text{-}1 \ \text{em cada intervalo} \ [t_i, \ t_{i+1}], \\ \text{com} \ \ t_o < \ldots < t_i < t_{i+1} < \ldots < t_n \end{split}$$
 - 2. S(t) e as suas derivadas de ordem 1..k-2 são contínuas em todo o intervalo onde é definida
 - $Dados: n+1 \text{ pontos } P_i \ (i=0...n) \text{ e nós } t_i \in [t_0, t_n]$
 - *Objectivos*: Encontrar os polinómios cúbicos interpoladores por troços e que definem a função Q(t) em $[t_0,t_n]$ tal que pertence a C^2 nos nós
 - Dedução dos coeficientes:
 - Sendo polinómio cúbico, para o intervalo $\left[t_{k}^{},t_{k+1}^{}\right]$ pode escrever-se:

$$Q_k(t) = a_k + b_k (t - t_k) + c_k (t - t_k)^2 + d_k (t - t_k)^3$$

- Condições fronteira:

$$Q(t_k) = P_k$$
 $Q(t_{k+1}) = P_{k+1}$ $(\frac{d Q_k}{dt})_{t=t_k} = R_k$ $(\frac{d Q_k}{dt})_{t=t_{k+1}} = R_{k+1}$

- Substituindo e resolvendo dá:

$$\begin{aligned} \mathbf{a}_k &= \mathbf{P}_k & \mathbf{b}_k &= \mathbf{R}_k \\ \mathbf{c}_k &= \frac{3 \left(\mathbf{P}_{k+1} - \mathbf{P}_k \right)}{\mathbf{h}_k^2} - \frac{2 \, \mathbf{R}_k}{\mathbf{h}_k} - \frac{\mathbf{R}_{k+1}}{\mathbf{h}_k} & \mathbf{d}_k &= \frac{2 \left(\mathbf{P}_k - \mathbf{P}_{k+1} \right)}{\mathbf{h}_k^3} + \frac{\mathbf{R}_k}{\mathbf{h}_k^2} + \frac{\mathbf{R}_{k+1}}{\mathbf{h}_k^2} \\ & \text{com} & \mathbf{h}_k = \mathbf{t}_{k+1} - \mathbf{t}_k \end{aligned}$$

- Condições adicionais:
 - As 4 equações deduzidas para os coeficientes referem-se a cada um dos troços, pelo que haverá ao todo 4n equações. As derivadas R_i ainda não são conhecidas, pelo que precisamos de n+1 equações.
 - Condição para a segunda derivada:

$$\left(\frac{d^2 Q_k}{dt^2}\right)_{t=t_{k+1}} = \left(\frac{d^2 Q_{k+1}}{dt^2}\right)_{t=t_{k+1}}$$

- Ao todo serão n-1 equações, da forma:

$$2 c_k + 6 d_k (t_{k+1} - t_k) = 2 c_{k+1}$$

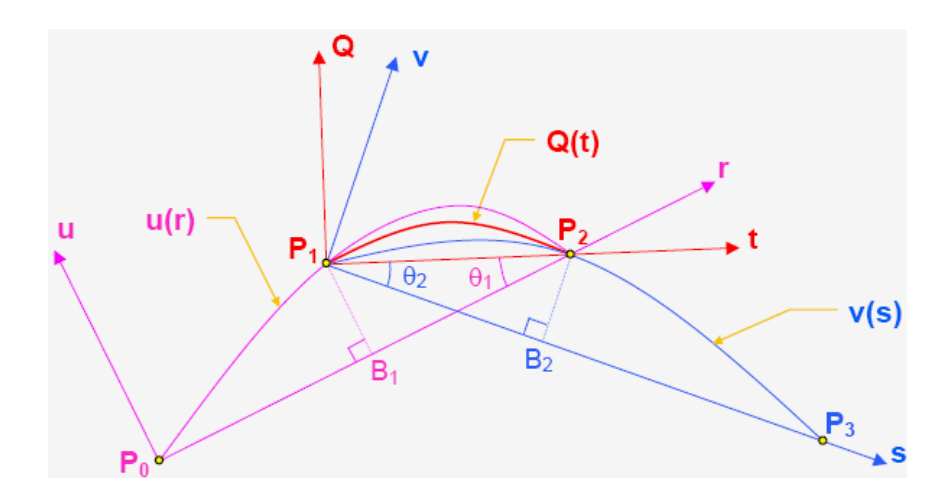
- Para não deixarmos o sistema indeterminado, há que introduzir mais 2 equações:



- Desvantagens dos Splines naturais:
 - Qualquer que seja a alternativa tomada para a resolução da indeterminação do sistema, o ajuste da curva resultante depende inteiramente da qualidade dos pontos dados, não se garantindo, portanto, a ausência de oscilações indesejáveis.
 - Outro inconveniente é o do controlo global (e não local) da curva

Conclusão: Não é boa solução para design interactivo

3. Interpolação por Parábolas



- Para se obter Q(t) entre P_1 e P_2 calculam-se duas parábolas u(r) e v(s), definidas por três pontos cada. Q(t) obtém-se por média ponderada de u(r) e v(s), usando-se uma função linear em t:

$$Q(t) = u(r) (t_0 - t)/t_0 + v(s) t/t_0$$
 com $0 \le t \le t_0$ e $t_0 = |P_2 - P_1|$

→ Características:

- 1. Q(t) é cúbica em t
- 2. Q(t) é de classe C¹
- 3. O controlo é local, apropriado para design interactivo
- 4. O cálculo é pesado...

Cálculos:

- Parábola definida por P_0 , P_1 e P_2 $(0 \le r \le d_r)$:

$$u(r) = P_0 + r (P_2 - P_0) / d_r + \alpha r (d_r - r) (P_1 - B_1)$$

- com:

$$\begin{aligned} d_r &= | \ P_2 - P_0 \ | \\ x_r &= (P_1 - P_0) \ (P_2 - P_0) \ / \ (P_2 - P_0)^2 \end{aligned} \qquad \alpha^{-1} = d_r^2 x_r \ (1 - x_r) \\ r &= x_r \ d_r + t \cos \theta_1 \qquad \qquad \cos \theta_1 = (P_2 - P_1) \ (P_2 - P_0) \ / \ (t_0 \ d_r) \end{aligned}$$

- Parábola definida por P_1 , P_2 e P_3 $(0 \le s \le d_s)$:

$$v(s) = P_1 + s (P_3 - P_1) / d_s + \beta s (d_s - s) (P_2 - B_2)$$

- com:

$$\begin{aligned} d_s &= | P_3 - P_1 | & B_2 &= P_1 + x_s (P_3 - P_1) \\ x_s &= (P_2 - P_1) (P_3 - P_1) / (P_3 - P_1)^2 & \beta^{-1} &= d_s^2 x_s (1 - x_s) \\ s &= x_s d_s + t \cos \theta_2 & \cos \theta_2 &= (P_2 - P_1) (P_3 - P_1) / (t_0 d_s) \end{aligned}$$

=> Curvas cúbicas

- Curva no espaço 3D:

$$Q(t) = \begin{bmatrix} x(t) \\ y(t) \\ z(t) \end{bmatrix} = \begin{bmatrix} a_x t^3 + b_x t^2 + c_x t + d_x \\ a_y t^3 + b_y t^2 + c_y t + d_y \\ a_z t^3 + b_z t^2 + c_z t + d_z \end{bmatrix} = \begin{bmatrix} t^3 & t^2 & t & 1 \end{bmatrix} \cdot \begin{bmatrix} a_x & b_x & c_x & d_x \end{bmatrix}^T \\ \begin{bmatrix} t^3 & t^2 & t & 1 \end{bmatrix} \cdot \begin{bmatrix} a_y & b_y & c_y & d_y \end{bmatrix}^T \\ \begin{bmatrix} t^3 & t^2 & t & 1 \end{bmatrix} \cdot \begin{bmatrix} a_z & b_z & c_z & d_z \end{bmatrix}^T \end{bmatrix}$$

- Sempre que não estiver em causa apenas uma coordenada em particular, por comodidade usar-se-á a expressão geral (vectorial)

Q(t) =
$$a t^3 + b t^2 + c t + d = [t^3 t^2 t 1]$$
. $\begin{bmatrix} a \\ b \\ c \\ d \end{bmatrix}$

Conclusão: 4 coeficientes arbitrários → pode-se impor 4 condições

=> Curvas de Hermite

- Condições: 2 pontos a interpolar e vectores tangentes nesses pontos

$$Q(0) = P_0$$
 $Q'(0) = R_0$ $Q(1) = P_3$ $Q'(1) = R_3$

- Na forma matricial:

$$Q(0) = P_0$$

 $Q(1) P_3$
 $Q'(0) R_0$
 $Q'(1) R_3$

- Substituindo cada elemento Q(t) por T.A escrever-se-á:

$$\begin{bmatrix} 0 & 0 & 0 & 1 \\ 1 & 1 & 1 & 1 \\ 0 & 0 & 1 & 0 \\ 3 & 2 & 1 & 0 \end{bmatrix}. A = G_H$$

- Resolvendo em ordem a A dará:

$$A = \begin{bmatrix} 0 & 0 & 0 & 1 \\ 1 & 1 & 1 & 1 \\ 0 & 0 & 1 & 0 \\ 3 & 2 & 1 & 0 \end{bmatrix}^{-1} \cdot G_{H} = \begin{bmatrix} 2 & -2 & 1 & 1 \\ -3 & 3 & -2 & -1 \\ 0 & 0 & 1 & 0 \\ 1 & 0 & 0 & 0 \end{bmatrix} \cdot G_{H} = M_{H} \cdot G_{H}$$

pelo que uma curva de Hermite é da forma: $Q(t) = T.M_H.G_H$

$$Q(t) = T.M_H.G_H$$

=> Curvas de Bézier

- Condições: As mesmas das curvas de Hermite, introduzindo-se 2 pontos intermédios que determinam os vectores tangentes.

$$Q'(0) = R_0 = 3 (P_1 - P_0)$$
 $Q'(1) = R_3 = 3 (P_3 - P_2)$

,donde:

$$\begin{bmatrix} P_0 \\ P_3 \\ R_0 \\ R_3 \end{bmatrix} = \begin{bmatrix} 1 & 0 & 0 & 0 \\ 0 & 0 & 0 & 1 \\ -3 & 3 & 0 & 0 \\ 0 & 0 & -3 & 3 \end{bmatrix} \cdot \begin{bmatrix} P_0 \\ P_1 \\ P_2 \\ P_3 \end{bmatrix}$$

- Pelo que:
$$Q(t) = T.M_H.G_H \implies Q(t) = T.M_B.G_B$$

com a Matriz de Bézier:

$$M_{B} = \begin{bmatrix} -1 & 3 & -3 & 1 \\ 3 & -6 & 3 & 0 \\ -3 & 3 & 0 & 0 \\ 1 & 0 & 0 & 0 \end{bmatrix}$$

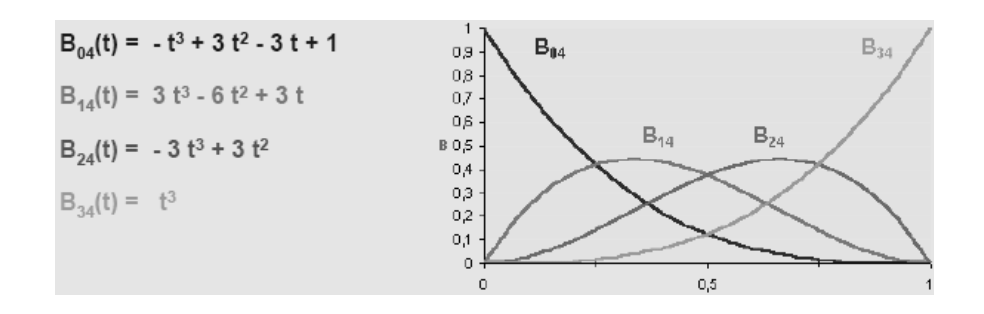
- Exemplo geral da utilização de Blending Functions $B_{in}(t)$ ordem ${\boldsymbol n}$:

Q(t) =
$$P_0 B_{0n}(t) + P_1 B_{1n}(t) + P_2 B_{2n}(t) + \dots + P_m B_{mn}(t)$$

com $0 \le t \le 1$ e $n = m + 1$

- Blending Functions de ordem **n=4** para as Curvas de Bézier:

$$\rightarrow$$
 Se $Q(t) = T.M_B.G_B$ então $T.M_B = \begin{bmatrix} B_{04} & B_{14} & B_{24} & B_{34} \end{bmatrix}$



=> Aproximação Bézier-Bernstein

$$Q(t) = \sum_{i=0}^{m} P_i B_{in}(t)$$
 com $0 \le t \le 1$ e $n = m + 1$

Curva de ordem n, aplicada a m+1 pontos e tendo como funções de peso
 (Blending Functions) os Polinómios de Bernstein:

$$B_{k,n}(t) = \frac{(n-1)!}{k! (n-1-k)!} t^k (1-t)^{n-1-k}$$

ightarrow As curvas cúbicas de Bézier são o caso particular em que $\mathbf{n=4}$ pontos

=> Algoritmo de *DE CASTELJAU*

- A partir dos pontos dados P_{0i} definem-se pontos auxiliares:

$$P_{k,n}(t) = (1 - t) P_{k-1,n-1}(t) + t P_{k-1,n}(t)$$

• Exemplo: Verificar que P₃₃(t) corresponde à curva cúbica de Bézier

• Resolução:

$$\begin{split} \mathbf{P}_{33}\left(t\right) &= (1-t)\,\mathbf{P}_{22}\left(t\right) + t\,\mathbf{P}_{23}\left(t\right) \\ &= (1-t)\,\left((1-t)\,\mathbf{P}_{11}\left(t\right) + t\,\mathbf{P}_{12}\left(t\right)\right) + \\ &\quad t\,\left((1-t)\,\mathbf{P}_{12}\left(t\right) + t\,\mathbf{P}_{13}\left(t\right)\right) \\ &= (1-t)^2\left((1-t)\,\mathbf{P}_{00} + t\,\mathbf{P}_{01}\right) + \\ &\quad 2\,\left(t-t^2\right)\left((1-t)\,\mathbf{P}_{01} + t\,\mathbf{P}_{02}\right) + t^2\left((1-t)\,\mathbf{P}_{02} + t\,\mathbf{P}_{03}\right) \\ &= (1-t)^3\,\mathbf{P}_{00} + (3t-6t^2+3t^3)\,\mathbf{P}_{01} + (3t^2-3t^3)\,\mathbf{P}_{02} + t^3\,\mathbf{P}_{03} \\ &= \mathbf{Q}_{\mathrm{B\acute{e}zier}}\left(t\right) \end{split}$$

=> Curvas B-Spline

- O vector de geometria G_{Bs} é igual ao de Bézier (G_B) , sendo diferente a matriz B-Spline:

$$\mathsf{M}_{\mathsf{Bs}} = \frac{1}{6} \begin{bmatrix} -1 & 3 & -3 & 1 \\ 3 & -6 & 3 & 0 \\ -3 & 0 & 3 & 0 \\ 1 & 4 & 1 & 0 \end{bmatrix}$$

- Blending Functions:

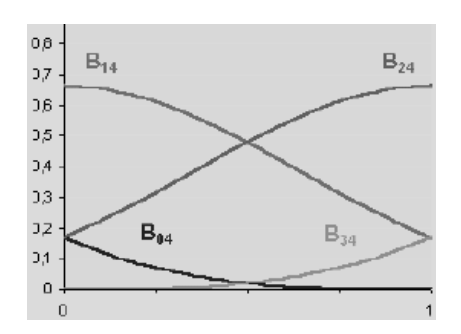
T.
$$M_{Bs} = [B_{04} B_{14} B_{24} B_{34}]$$

$$B_{04}(t) = (-t^3 + 3t^2 - 3t + 1)/6$$

$$B_{14}(t) = (3t^3 - 6t^2 + 4)/6$$

$$B_{24}(t) = (-3t^3 + 3t^2 + 3t + 1)/6$$

$$B_{34}(t) = t^3/6$$



Conclusão:

Início de curva \rightarrow vizinhança de P_1 Final de curva \rightarrow vizinhança de P_2

• Propriedades: C⁰

- Sejam dados os seguintes vectores geometria:

$$G_{Bs_3} = \begin{bmatrix} P_0 \\ P_1 \\ P_2 \\ P_3 \end{bmatrix}$$
 $G_{Bs_4} = \begin{bmatrix} P_1 \\ P_2 \\ P_3 \\ P_4 \end{bmatrix}$

- Sendo T.
$$M_{Bs} = \frac{1}{6} [-t^3 + 3t^2 - 3t + 1 \quad 3t^3 - 6t^2 + 4 \quad -3t^3 + 3t^2 + 3t + 1 \quad t^3]$$

,e considerando o intervalo $0 \le t \le 1$ para cada troço, por substituição obter-se-á:

$$Q_3(1) = \frac{1}{6} \begin{bmatrix} 0 & 1 & 4 & 1 \end{bmatrix} G_{Bs_3}$$

$$Q_4(0) = \frac{1}{6} \begin{bmatrix} 1 & 4 & 1 & 0 \end{bmatrix} G_{Bs_4}$$

 ${\bf Conclus\~ao:}$ Junção dos troços do mesmo ponto, implicando continuidade ${\bf C^0}$

• Propriedades C¹

- Primeira derivada:

$$\frac{d}{dt}$$
 T. $M_{Bs} = \frac{1}{2} [-t^2 + 2t - 1 + 3t^2 - 4t - 3t^2 + 2t + 1 + t^2]$

- Considerando o intervalo $0 \le t \le 1$ para cada troço, por substituição obter-se-á:

$$\frac{d}{dt} Q_3(1) = \frac{1}{2} \begin{bmatrix} 0 & -1 & 0 & 1 \end{bmatrix} G_{Bs_3}$$

$$\frac{d}{dt} Q_4(0) = \frac{1}{2} \begin{bmatrix} -1 & 0 & 1 & 0 \end{bmatrix} G_{Bs_4}$$

$$\frac{d}{dt} Q_3(1) = \frac{d}{dt} Q_4(0)$$

Conclusão: Continuidade C^1 no ponto de junção dos troços

• Propriedades C²

- Primeira derivada:

$$\frac{d^2}{dt^2}$$
 T. M_{Bs} = [-t+1 3t-2 -3t+1 t]

- Considerando o intervalo $0 \le t \le 1$ para cada troço, por substituição obter-se-á:

$$\frac{d^2}{dt^2} Q_3 (1) = [0 \ 1 \ -2 \ 1] G_{Bs_3}$$

$$\frac{d^2}{dt^2} Q_4 (0) = [1 \ -2 \ 1 \ 0] G_{Bs_4}$$

$$\frac{d^2}{dt^2} Q_3(1) = \frac{d^2}{dt^2} Q_4(0)$$

Conclusão: Continuidade C² no ponto de junção dos troços

• Continuidade e Interpolação

- Resultado dos graus de multiplicidade dos pontos de controlo:

> Multiplicidade $1 \Rightarrow$ continuidade $\mathbb{C}^2\mathbb{G}^2$

> Multiplicidade $2 \Rightarrow$ continuidade $\mathbb{C}^2 \mathbb{G}^1$

> Multiplicidade $3 \Rightarrow$ continuidade $\mathbb{C}^2 \mathbb{G}^0$

> Multiplicidade $3 \Rightarrow$ pode interpolar pontos de controlo

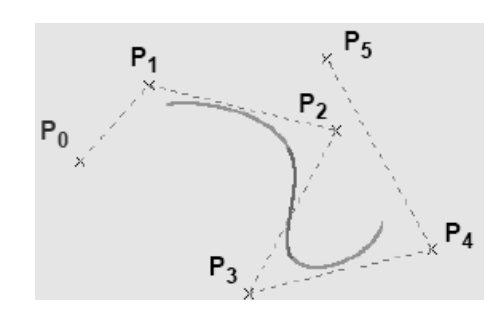
> Multiplicidade $4 \Rightarrow$ curva sem continuidade garantida

> Multiplicidade 4 \Rightarrow interpola até dois pontos de controlo

- Há alternativa à interpolação de novo(s) ponto(s) de controlo dito(s) fantasma(s)

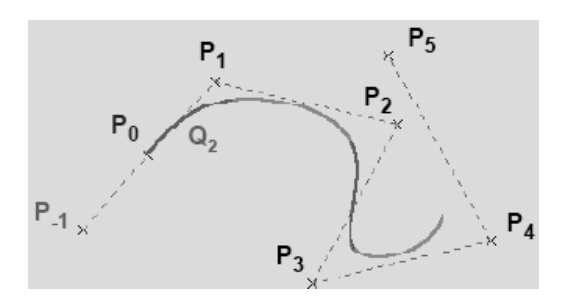
• Pontos de controlo Fantasmas

- Admitindo que se quer interpolar P₀

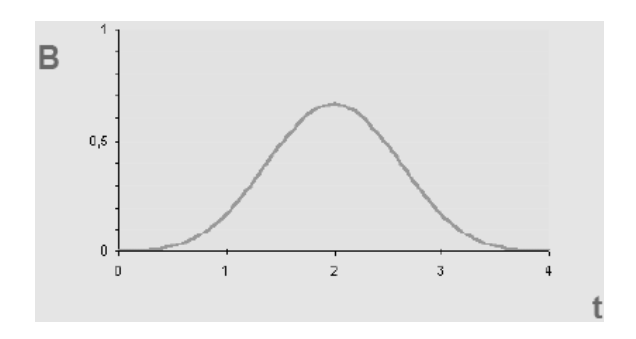


- Resolve-se matematicamente encontrando o ponto fantasma P_{-1} que verifique a condição:

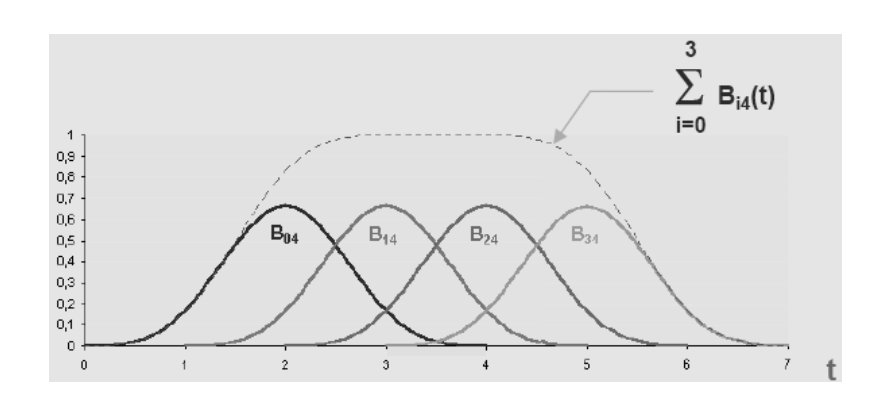
$$Q_2(t=0) = T \cdot M_{Bs} \cdot \begin{bmatrix} P_{-1} \\ P_0 \\ P_1 \\ P_2 \end{bmatrix} = P_0$$



- Para uma curva cúbica formada por diversos troços, um dado ponto de controlo contribui, no máximo, em 4 intervalos contíguos relativos ao parâmetro t. (Características evidenciadas)



- Graficamente, a função $B_{i+1,4}$ obtém-se de $B_{i,4}$ por translação de uma unidade em t. Mas a curva B-spline estará apenas definida nos <u>intervalos</u> em que os somem 1. (Uniformização resultante)



- Assim, para cada $B_{i,4}$ o parâmetro ${\bf t}$ variará de ${\bf i}$ até ${\bf i+4}$.
- Supondo a existência de k pontos de controlo, define-se:
 - \rightarrow igual número de *Blending Functions*, desde $B_{0,4}$ até $B_{k-1,4}$
 - \rightarrow k+3 intervalos em t, sendo os limites dos intervalos designados por knot values
 - \rightarrow k+4 valores de nós
 - \rightarrow k-3 troços, de Q_3 até Q_{k-1} , respeitantes aos <u>intervalos</u> em que os pesos têm soma unitária
- Em vez de se ter que reduzir t ao intervalo [0,1] para a efectuação dos cálculos pelas fórmulas inicialmente dadas, os pesos deverão ter uma expressão analítica diferente.
- A melhor alternativa é a utilização do algoritmo recursivo de *Cox-deBoor*
- Esse algoritmo necessita conhecer os valores dos nós, usualmente expressos numa sequência não crescente designada por knot vector

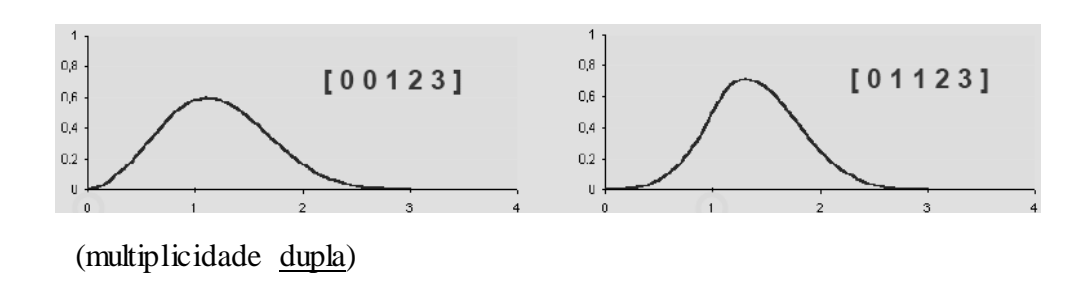
• Algoritmo Cox-deBoor

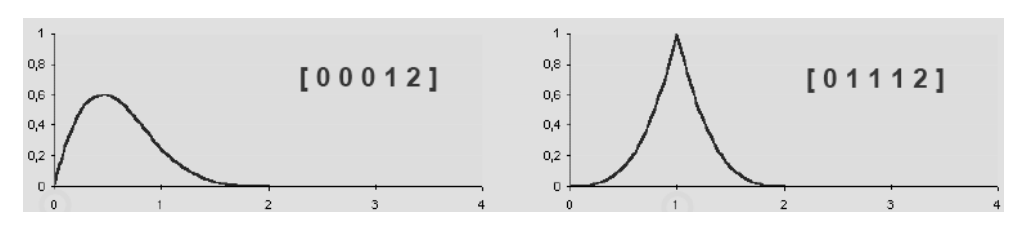
$$\begin{split} & \mathsf{B}_{i,4}(t) = \frac{t - t_i}{t_{i+3} - t_i} \mathsf{B}_{i,3}(t) + \frac{t_{i+4} - t}{t_{i+4} - t_{i+1}} \mathsf{B}_{i+1,3}(t) \\ & \mathsf{B}_{i,3}(t) = \frac{t - t_i}{t_{i+2} - t_i} \mathsf{B}_{i,2}(t) + \frac{t_{i+3} - t}{t_{i+3} - t_{i+1}} \mathsf{B}_{i+1,2}(t) \\ & \mathsf{B}_{i,2}(t) = \frac{t - t_i}{t_{i+1} - t_i} \mathsf{B}_{i,1}(t) + \frac{t_{i+2} - t}{t_{i+2} - t_{i+1}} \mathsf{B}_{i+1,1}(t) \\ & \mathsf{B}_{i,1}(t) = \begin{cases} 1 & se & t_i \leq t < t_{i+1} \\ 0 & caso contrário \end{cases} \end{split}$$

• Curvas B-spline cúbicas Não-Uniformes

- Alterar o comprimento de um ou mais intervalos é possível e permite maior versatilidade de formas sem modificação dos pontos de controlo.
- É por vezes útil <u>anular</u> o comprimento de um ou mais intervalos
- Sempre que os intervalos entre nós não sejam todos iguais, a curva diz-se não-uniforme
- O algoritmo de *Cox-deBoor* tanto se aplica às curvas B-spline cúbicas uniformes como às não-uniformes
- Usando o algoritmo de *Cox-deBoor*, o processo de cálculo para as curvas uniformes e não-uniformes é perfeitamente o mesmo

- Exemplos:





(multiplicidade tripla)

- NURBS (NonUniform Rational B-Spline)
 - Trata-se da divisão entre dois polinómios que são curvas B-Spline
 - Aplicação:
 - Calcula-se uma curva B-spline em coordenadas homogéneas

$$Q_{hom}(t) = [X=f(t) Y=g(t) Z=h(t) W=k(t)]^T$$

, e converte-se em coordenadas reais

$$Q(t) = [x = \frac{X(t)}{W(t)} \ y = \frac{Y(t)}{W(t)} \ z = \frac{Z(t)}{W(t)}]^{T}$$

=> Curvas Beta-Spline

$$Q_{i}(t) = T \cdot M_{\beta s} \cdot G_{\beta s_{i}}$$

- O vector da geometria $G_{eta si}$ é igual ao do B-Spline G_{Bsi} , sendo a matriz eta - Spline dada por:

$$\mathsf{M}_{\mathsf{BS}} = \frac{1}{\mathsf{k}} \begin{bmatrix} -2\mathsf{B}_{1}^{3} & 2(\mathsf{B}_{2} + \mathsf{B}_{1}^{3} + \mathsf{B}_{1}^{2} + \mathsf{B}_{1}) & -2(\mathsf{B}_{2} + \mathsf{B}_{1}^{2} + \mathsf{B}_{1} + 1) & 2 \\ -6\mathsf{B}_{1}^{3} & -3(\mathsf{B}_{2} + 2\mathsf{B}_{1}^{3} + 2\mathsf{B}_{1}^{2}) & 3(\mathsf{B}_{2} + 2\mathsf{B}_{1}^{2}) & 0 \\ -6\mathsf{B}_{1}^{3} & 6(\mathsf{B}_{1}^{3} - \mathsf{B}_{1}) & 6\mathsf{B}_{1} & 0 \\ -2\mathsf{B}_{1}^{3} & \mathsf{B}_{2} + 4(\mathsf{B}_{1}^{2} + \mathsf{B}_{1}) & 2 & 0 \end{bmatrix}$$

, e em que:

$$k = \beta_2 + 2 \beta_1^3 + 4 \beta_1^2 + 4 \beta_1 + 2$$

- Parâmetros globais: $\beta_1 > 0$ (*Bias*) e $\beta_2 \ge 0$ (*Tension*)
 - Propriedades de β-Splines:
 - Se $\beta_1=0$ e $\beta_2=0$ então $M_{\beta s}=M_{Bs}$
 - Convex Hull
 - Controlo global por β_1 e β_2 se aplicarem a toda a curva
 - C⁰ e G² nas junções de troços
 - C^1 nas junções de troços quando $\beta_1=1$

=> Curvas de Catmull-Rom (ou Splines de Overhauser)

$$Q_{i}(t) = T \cdot M_{CR} \cdot G_{Bs}$$

$$M_{CR} = \frac{1}{2} \begin{bmatrix} -1 & 3 & -3 & 1 \\ 2 & -5 & 4 & -1 \\ -1 & 0 & 1 & 0 \\ 0 & 2 & 0 & 0 \end{bmatrix}$$

- Blending Functions:

$$B_{04}(t) = (-t^3 + 2t^2 - t)/2$$

$$B_{14}(t) = (3t^3 - 5t^2 + 2)/2$$

$$B_{24}(t) = (-3t^3 + 4t^2 + t)/2$$

$$B_{34}(t) = (t^3 - t^2)/2$$

Propriedades

- Considerando o intervalo $0 \le t \le 1$ para cada troço:

$$Q_{i}(0) = \frac{1}{2} [0 2 0 0] G_{Bs_{i}} = P_{i-2}$$

$$Q_{i}(1) = \frac{1}{2} [0 0 2 0] G_{Bs_{i}} = P_{i-1}$$

$$Q_{i+1}(0) = \frac{1}{2} [0 2 0 0] G_{Bs_{i+1}} = P_{i-1}$$

$$Q_{i}(1) = Q_{i+1}(0)$$

(C⁰ e Interpolação de pontos de controlo)

$$\frac{d}{dt} T \cdot M_{CR} = \frac{1}{2} [-3 t^2 + 4 t - 1 \quad 9 t^2 - 10 t \quad -9 t^2 + 8 t + 1 \quad 3 t^2 - 2 t]$$

$$\frac{d}{dt} Q_{i}(1) = \frac{1}{2} \begin{bmatrix} 0 & -1 & 0 & 1 \end{bmatrix} G_{Bs_{i}} = \frac{P_{i} - P_{i-2}}{2}$$

$$\frac{d}{dt} Q_{i+1}(0) = \frac{1}{2} \begin{bmatrix} -1 & 0 & 1 & 0 \end{bmatrix} G_{Bs_{i+1}} = \frac{P_{i} - P_{i-2}}{2}$$

$$\frac{d}{dt} Q_i(1) = \frac{d}{dt} Q_{i+1}(0)$$

(Continuidade de C¹)

=> Superfícies Bicúbicas na forma Paramétrica

Q(s,t) =
$$a_{11} * s^3 * t^3 + a_{12} * s^3 * t^2 + a_{13} * s^3 * t + a_{14} * s^3 + a_{21} * s^2 * t^3 + a_{22} * s^2 * t^2 + a_{23} * s^2 * t + a_{24} * s^2 + a_{31} * s * t^3 + a_{32} * s * t^2 + a_{33} * s * t + a_{34} * s + a_{41} * t^3 + a_{42} * t^2 + a_{43} * t + a_{44}$$

- Está na forma de:

$$Q(s,t) = S \cdot A \cdot T^{T}, 0 \le s \le 1 e 0 \le t \le 1$$

$$S = [s^3 \ s^2 \ s \ 1]$$
 $T = [t^3 \ t^2 \ t \ 1]$

- Forma de Hermite
 - Curva de Hermite:

$$Q(s) = S \cdot M_H \cdot G_H$$

- Superfície:

$$Q(s,t) = S \cdot M_H \cdot G_H(t) = S \cdot M_H \cdot P_1(t)$$

$$P_4(t)$$

$$R_1(t)$$

$$R_4(t)$$

- Sejam elementos de $G_{H}(t)$ curvas de Hermite:

$$\begin{array}{c} P_{1}(t) = T \cdot M_{H} \cdot \begin{bmatrix} g_{11} \\ g_{12} \\ g_{13} \\ g_{14} \end{bmatrix} & P_{4}(t) = T \cdot M_{H} \cdot \begin{bmatrix} g_{21} \\ g_{22} \\ g_{23} \\ g_{24} \end{bmatrix} \\ \\ R_{1}(t) = T \cdot M_{H} \cdot \begin{bmatrix} g_{31} \\ g_{32} \\ g_{33} \\ g_{34} \end{bmatrix} & R_{4}(t) = T \cdot M_{H} \cdot \begin{bmatrix} g_{41} \\ g_{42} \\ g_{43} \\ g_{44} \end{bmatrix} \\ \end{array}$$

$$\begin{bmatrix} P_1(t) & P_4(t) & R_1(t) & R_4(t) \end{bmatrix} = T \cdot M_H \cdot \begin{bmatrix} g_{11} & g_{21} & g_{31} & g_{41} \\ g_{12} & g_{22} & g_{32} & g_{42} \\ g_{13} & g_{23} & g_{33} & g_{43} \\ g_{14} & g_{24} & g_{34} & g_{44} \end{bmatrix}$$

- Por transposição:

$$\mathbf{G}_{\mathsf{H}}(\mathsf{t}) = \begin{bmatrix} \mathbf{g}_{11} & \mathbf{g}_{12} & \mathbf{g}_{13} & \mathbf{g}_{14} \\ \mathbf{g}_{21} & \mathbf{g}_{22} & \mathbf{g}_{23} & \mathbf{g}_{24} \\ \mathbf{g}_{31} & \mathbf{g}_{32} & \mathbf{g}_{33} & \mathbf{g}_{34} \\ \mathbf{g}_{41} & \mathbf{g}_{42} & \mathbf{g}_{43} & \mathbf{g}_{44} \end{bmatrix} . \, \mathbf{M}_{\mathsf{H}}^{\mathsf{T}} . \, \mathsf{T}^{\mathsf{T}} = \underline{\mathbf{G}}_{\mathsf{H}} . \, \mathbf{M}_{\mathsf{H}}^{\mathsf{T}} . \, \mathsf{T}^{\mathsf{T}}$$

- Por substituição em $Q(s,t) = S.M_H.G_H(t)$: (superfície de Hermite)

$$\mathbf{Q}(\mathbf{s},\mathbf{t}) = \mathbf{S} \cdot \mathbf{M}_{H} \cdot \underline{\mathbf{G}}_{H} \cdot \mathbf{M}_{H}^{\mathsf{T}} \cdot \mathbf{T}^{\mathsf{T}}$$

$$\underline{\mathbf{G}}_{H} = \begin{bmatrix} g_{11} & g_{12} & g_{13} & g_{14} \\ g_{21} & g_{22} & g_{23} & g_{24} \\ g_{31} & g_{32} & g_{33} & g_{34} \\ g_{41} & g_{42} & g_{43} & g_{44} \end{bmatrix}$$

- Interpretação da matriz de geometria de Hermite G_H :

$$\begin{split} \underline{\mathbf{G}}_{\mathsf{H}} &= \begin{bmatrix} & \mathsf{Q}(0,0) & \mathsf{Q}(0,1) & \partial \mathsf{Q}(\mathsf{s},\mathsf{t})/\partial \mathsf{t} \mid_{\mathsf{s}=0,\mathsf{t}=0} & \partial \mathsf{Q}(\mathsf{s},\mathsf{t})/\partial \mathsf{t} \mid_{\mathsf{s}=0,\mathsf{t}=1} \\ & \mathsf{Q}(1,0) & \mathsf{Q}(1,1) & \partial \mathsf{Q}(\mathsf{s},\mathsf{t})/\partial \mathsf{t} \mid_{\mathsf{s}=1,\mathsf{t}=0} & \partial \mathsf{Q}(\mathsf{s},\mathsf{t})/\partial \mathsf{t} \mid_{\mathsf{s}=1,\mathsf{t}=1} \\ & \partial \mathsf{Q}(\mathsf{s},\mathsf{t})/\partial \mathsf{s} \mid_{\mathsf{s}=0,\mathsf{t}=0} & \partial \mathsf{Q}(\mathsf{s},\mathsf{t})/\partial \mathsf{s} \mid_{\mathsf{s}=0,\mathsf{t}=1} & \partial^2 \mathsf{Q}(\mathsf{s},\mathsf{t})/\partial \mathsf{s}\partial \mathsf{t} \mid_{\mathsf{s}=0,\mathsf{t}=0} & \partial^2 \mathsf{Q}(\mathsf{s},\mathsf{t})/\partial \mathsf{s}\partial \mathsf{t} \mid_{\mathsf{s}=0,\mathsf{t}=1} \\ & \partial \mathsf{Q}(\mathsf{s},\mathsf{t})/\partial \mathsf{s} \mid_{\mathsf{s}=1,\mathsf{t}=0} & \partial \mathsf{Q}(\mathsf{s},\mathsf{t})/\partial \mathsf{s} \mid_{\mathsf{s}=1,\mathsf{t}=1} & \partial^2 \mathsf{Q}(\mathsf{s},\mathsf{t})/\partial \mathsf{s}\partial \mathsf{t} \mid_{\mathsf{s}=1,\mathsf{t}=0} & \partial^2 \mathsf{Q}(\mathsf{s},\mathsf{t})/\partial \mathsf{s}\partial \mathsf{t} \mid_{\mathsf{s}=1,\mathsf{t}=1} \end{bmatrix} \end{split}$$

(As 1^{as} derivadas são os vectores tangente e as segundas denominam-se twist vectors)

Forma de Bézier

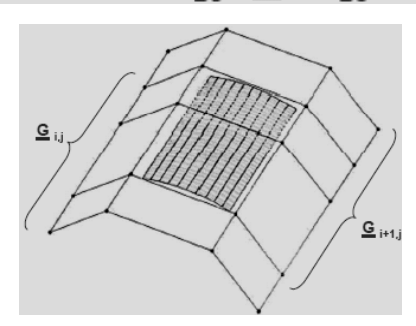
$$Q(s,t) = S \cdot M_{B} \cdot \underline{G} \cdot M_{B}^{T} \cdot T^{T}$$

$$P_{12} \qquad P_{14} \qquad P_{24} \qquad P_{44}$$

$$P_{11} \qquad P_{21} \qquad P_{41} \qquad P_{44}$$

• Forma de B-spline

$$Q(s,t) = S \cdot M_{Bs} \cdot \underline{G} \cdot M_{Bs}^{T} \cdot T^{T}$$



- Garante-se C^2 pela utilização dos pontos de controlo via matriz de geometria $G_{i,j}$ à semelhança das curvas B-spline com o vector de geometria G_i
- Transformações geométricas de curvas e superfícies
 - Aplicam-se aos coeficientes dos vectores ou das matrizes de geometria

$$P = \begin{bmatrix} P_x \\ P_y \\ P_z \\ 1 \end{bmatrix} \qquad V = \begin{bmatrix} V_x \\ V_y \\ V_z \\ 0 \end{bmatrix}$$

$$(S,R,T) \qquad (S,R)$$

- Plano tangente a uma superfície Bicúbica
 - Vector tangente segundo s:

$$\frac{\partial}{\partial s} \mathbf{Q}(\mathbf{s}, \mathbf{t}) = \frac{\partial}{\partial s} (\mathbf{S} \cdot \mathbf{M} \cdot \underline{\mathbf{G}} \cdot \mathbf{M}^{\mathsf{T}} \cdot \mathbf{T}^{\mathsf{T}})$$
$$= [\mathbf{3}\mathbf{s}^{2} \mathbf{2}\mathbf{s} \mathbf{1} \mathbf{0}] \cdot \mathbf{M} \cdot \underline{\mathbf{G}} \cdot \mathbf{M}^{\mathsf{T}} \cdot \mathbf{T}^{\mathsf{T}}$$

- Vector tangente segundo t:

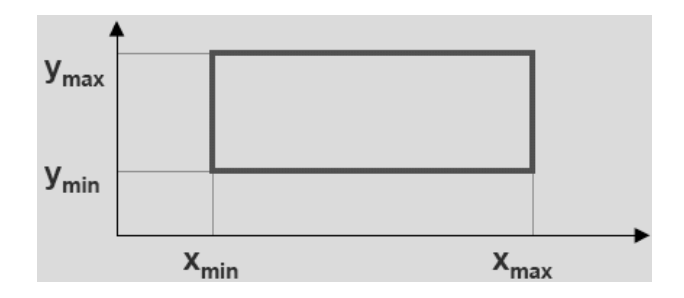
$$\frac{\partial}{\partial t} \mathbf{Q}(\mathbf{s}, \mathbf{t}) = \frac{\partial}{\partial t} \left(\mathbf{S} \cdot \mathbf{M} \cdot \underline{\mathbf{G}} \cdot \mathbf{M}^{\mathsf{T}} \cdot \mathbf{T}^{\mathsf{T}} \right) = \mathbf{S} \cdot \mathbf{M} \cdot \underline{\mathbf{G}} \cdot \mathbf{M}^{\mathsf{T}} \cdot \begin{bmatrix} 3t^2 \\ 2t \\ 1 \\ 0 \end{bmatrix}$$

- Vector normal a uma superfície Bicúbica
 - Vector normal:

$$\frac{\partial}{\partial s} Q(s,t) \times \frac{\partial}{\partial t} Q(s,t) = \begin{vmatrix} \bar{i} & \bar{j} & \bar{k} \\ x_s & y_s & z_s \\ x_t & y_t & z_t \end{vmatrix}$$

Recorte

=> Recorte (Clipping) por janelas rectangulares



- Pontos:
 - P(x,y) é visível se não for exterior à janela,

$$x \le x_{\text{max}} \land x \ge x_{\text{min}} \land y \le y_{\text{max}} \land y \ge y_{\text{min}}$$

- Linhas (segmentos de recta)
 - PQ é visível de P for visível e Q for visível

1. Método da força bruta

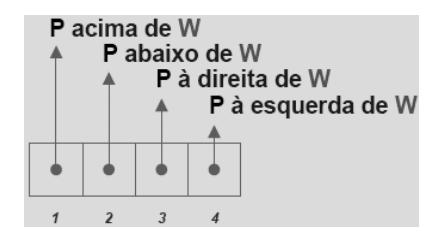
- Teste de paralelismo
- Resolução de um sistema de duas equações
- O ponto de intersecção das rectas pertence aos segmentos?

2. Algoritmo de Cohen-Sutherland

- Baseia-se na definição de regiões de teste com relação à janela W e atribuição de um código binário a cada extremidade de uma linha:

1001	1000	1010
0001	0000	0010
0101	0100	0110

- Convenção para cada ponto P: $bit_i = 1$ se



- PQ é trivialmente aceite se: (código(P) or código(Q)) = 0000
- PQ é trivialmente rejeitado se: $(código(P) and código(Q)) \neq 0000$
- Estratégia iterativa para os restantes casos, em que se procurará, então, pelo menos uma intersecção
- Para implementar essa estratégia iterativa, escolhe-se-á a seguinte ordem para efectuação dos testes

Bit
$$1 \rightarrow Bit \ 2 \rightarrow Bit \ 3 \rightarrow Bit \ 4$$

, aplicando-se então as regras que decorrem da convenção usada:

Bits 1 diferentes → rejeitam-se as linhas <u>acima</u> de W e recomeça-se

Bits 2 diferentes → rejeitam-se as linhas abaixo de W e recomeça-se

Bits 3 diferentes \rightarrow rejeitam-se as linhas $\underline{\grave{a}}$ direita de W e recomeça-se

Bits 4 diferentes → rejeitam-se as linhas à esquerda de W e recomeça-se

- Método de resolver a intersecção:
 - a) Resolução de um sistema juntando as equações:

$$x = x_{max} \quad x = x_{min} \quad y = y_{max} \quad y = y_{min}$$

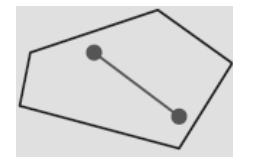
b) Substituição pelo ponto médio

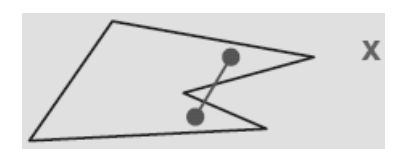
$$x_{med} = (x_P + x_Q)/2$$
 $y_{med} = (y_P + y_Q)/2$

- Aplicado iterativamente, este algoritmo de pesquisa dicotómica necessita, no máximo, de $\log_2 M_x$ subdivisões com M_x = número máximo de pixels de uma linha

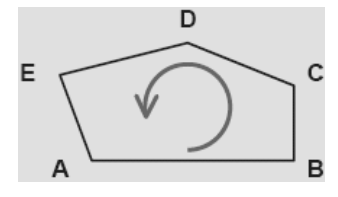
=> Recorte (Clipping) por janelas poligonais convexas

- Polígono convexo: Aquele em que uma linha unindo dois quaisquer pontos interiores ao polígono esteja nele totalmente contida

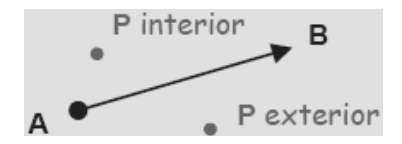




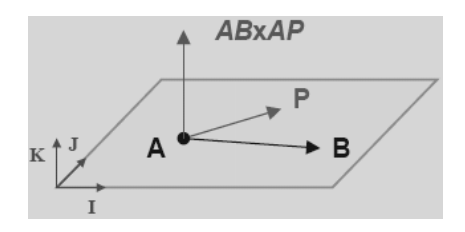
- Polígono (convexo) com orientação positiva:



- Um ponto interior a um polígono convexo com orientação positiva fica <u>à</u> <u>esquerda</u> de <u>todas</u> as arestas do mesmo



- Matematicamente:



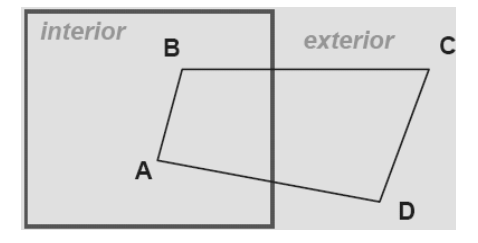
$$ABxAP = \begin{bmatrix} I & J & K & = ((x_B-x_A)(y_P-y_A)-(x_P-x_A)(y_B-y_A)) & K = k K \\ (x_B-x_A) & (y_B-y_A) & 0 & \\ (x_P-x_A) & (y_P-y_A) & 0 & \end{bmatrix}$$

$$K > 0 \Rightarrow P \stackrel{\text{à esquerda}}{=} de AB$$

 $K < 0 \Rightarrow P \stackrel{\text{à direita}}{=} de AB$

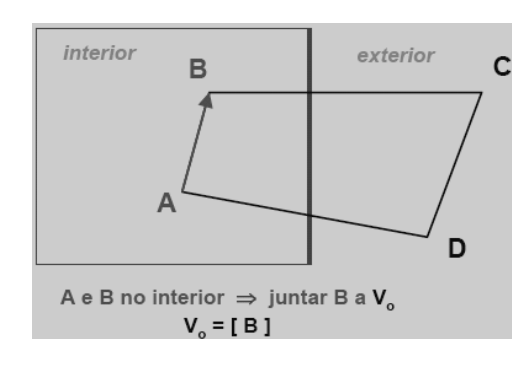
=> Recorte (Clipping) de Polígonos por janelas rectangulares

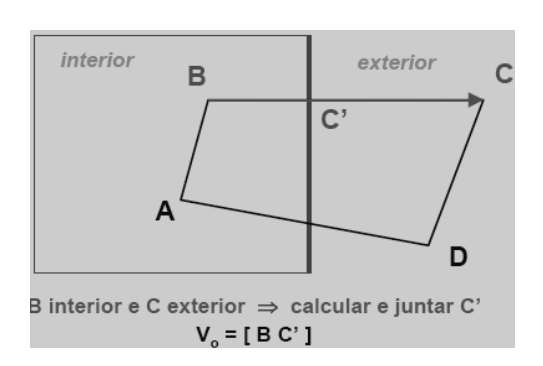
1. Algoritmo de Sutherlan-Hodgman

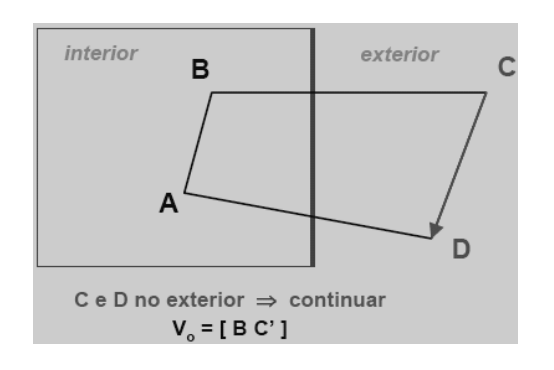


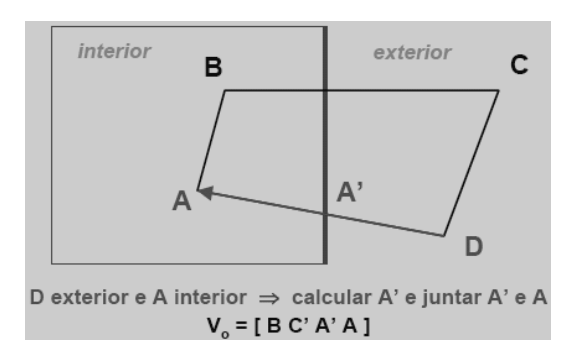
 V_i = Lista de vértices de entrada = [A B C D]

V_o = Lista de vértices de saída = nil

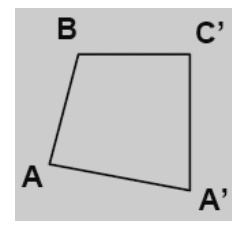








- Polígono após o recorte:



- Clipping stages:



=> Recorte (Clipping) de Polígonos

1. Algoritmo de Weiler-Atherton

- Não gera arestas estranhas em polígonos côncavos, quer teriam de ser eliminadas em pós-processamento no caso do algoritmo de Sutherland-Hodgman.
 - Principais etapas do algoritmo:
 - 1. Começa-se a percorrer o polígono em sentido retrógrado
 - 2. Se for encontrada uma intersecção com a janela e:
 - 2.1- a aresta em percurso estiver a entrar na janela:
 - Memoriza-se a intersecção (inclui aresta) e continua-se normalmente o percurso

- 2.2- a aresta em percurso estiver a sair na janela:
 - Memoriza-se a intersecção (inclui aresta) e o percurso é desviado para a direita, continuando pelas arestas da janela até à intersecção seguinte e retomando o polígono a recortar.

Recorte

- Grupo de pixels adjacentes e com valor igual
 - <u>Tipos:</u>
 - com ligação a 4
 - com ligação a 8



- Classificação pela definição:
 - > definida pelo interior → algoritmos "flood-fill"
 - > definida pela fronteira \rightarrow algoritmos "boundary-fill"
- 1. Algoritmo iterativo
 - 1. new(pilha)
 - 2. Percorrer a linha corrente, partindo do pixel inicial até encontrar o pixel mais à direita, empilhando-o
 - 3. $pixel_corrente := pop(pilha)$

Preencher a carreira(span = pixels adjacentes horizontalmente) do pixel corrente, caso ainda não tenho sido tratada

- 4. Examinar a linha imediatamente acima da carreira corrente (da direita para a esquerda), caso inda não tenha sido analisada, para encontrar todas as carreiras acessíveis que a constituem
- 5. Para cada carreira, empilhar o endereço do pixel mais à direita
- 6. Repetir 4. e 5. para a linha imediatamente abaixo da carreira corrente, se ainda estiver por tratar
- 7. Se a pilha não estiver vazia, recomeçar em 3), senão FIM